

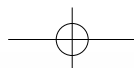


# НАНО- И МИКРОСИСТЕМНАЯ ТЕХНИКА

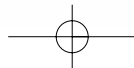
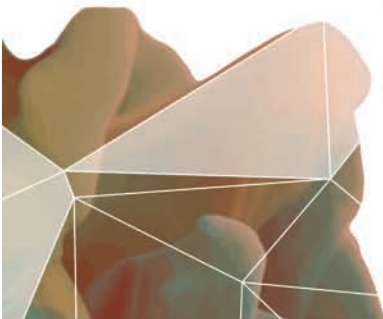
ISSN 1813-8586

- Нанотехнологии
- Зондовая микроскопия
- Микромашины и наносистемы
- Молекулярная электроника
- Биоактивные нанотехнологии
- Элементы датчиков и биочипы
- Микроэлектромеханические системы
- Микрооптоэлектромеханические системы
- Биомикроэлектромеханические системы

8 (181)  
2015



### III ЕЖЕГОДНАЯ НАЦИОНАЛЬНАЯ ВЫСТАВКА



# ВУЗ ПРОМ ЭКСПО 2015

## ОТ ИДЕИ К РЕАЛЬНОСТИ

- БОЛЕЕ 100 ВУЗОВ,  
а также:
- ПРОМЫШЛЕННЫЕ ПРЕДПРИЯТИЯ
- НАУЧНЫЕ ОРГАНИЗАЦИИ
- МАЛЫЕ ИННОВАЦИОННЫЕ ПРЕДПРИЯТИЯ
- ИНЖИНИРИНГОВЫЕ ЦЕНТРЫ
- ТЕХНОЛОГИЧЕСКИЕ ПЛАТФОРМЫ
- ГОСУДАРСТВЕННЫЕ КОРПОРАЦИИ
- ТЕРРИТОРИАЛЬНЫЕ ИННОВАЦИОННЫЕ КЛАСТЕРЫ

# 2-4 ДЕКАБРЯ 2015

Федеральная площадка для демонстрации потенциала  
современных технологий и научных изобретений России  
Научный шаг в будущее России

[vuzpromexpo.ru](http://vuzpromexpo.ru)

стратегические партнеры:



организаторы:



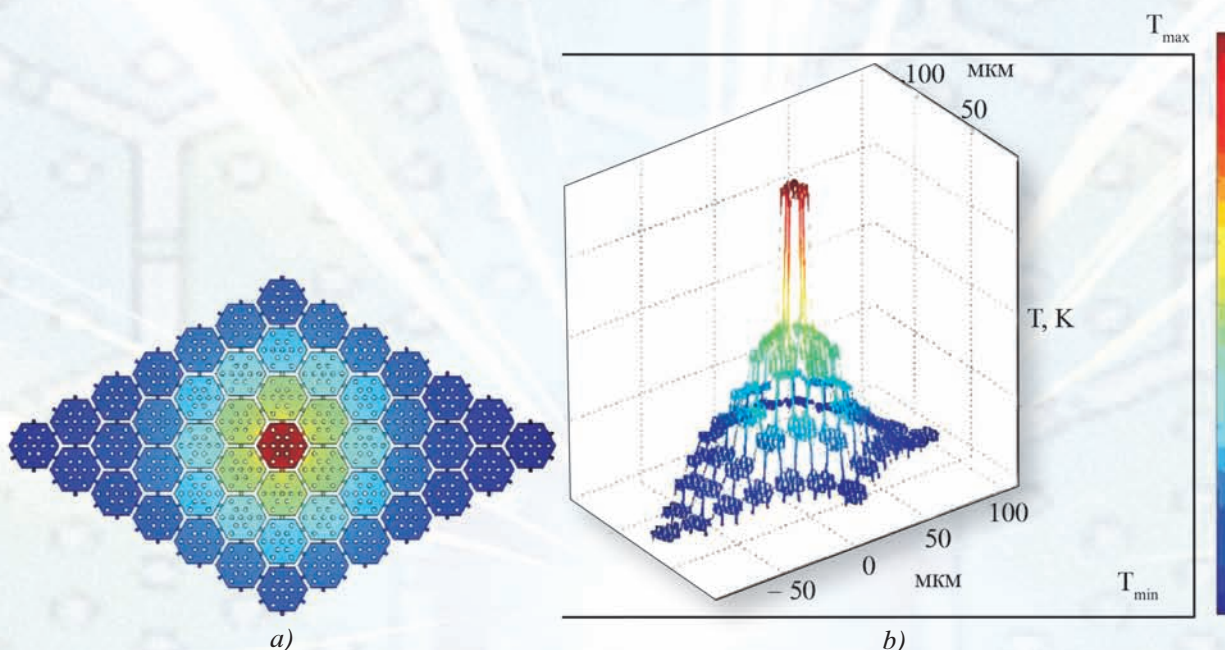
ПРИ ПОДДЕРЖКЕ  
ПРАВИТЕЛЬСТВА  
МОСКВЫ

Технополис «Москва» г. Москва, Волгоградский проспект 42/13



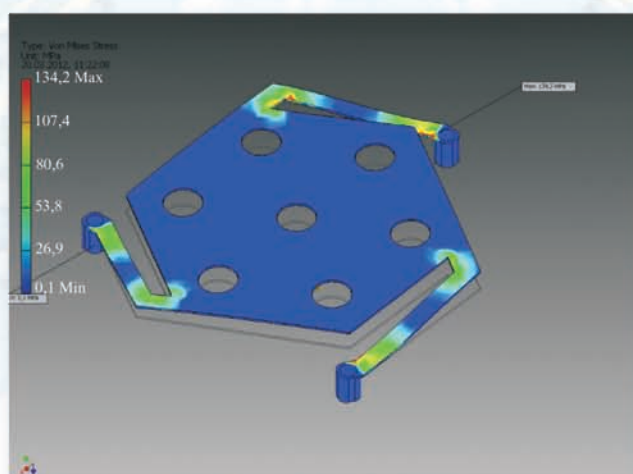
Рисунки к статье Б. Г. Гончаренко, А. А. Жукова, С. М. Зорина,  
 В. В. Козлова, А. С. Корпухина, В. Д. Салова  
**«МОДЕЛИРОВАНИЕ КОНСТРУКЦИИ И СПОСОБ ИЗГОТОВЛЕНИЯ  
 3D MEMS-СТРУКТУР ТЕПЛОВЫХ ПРИЁМНИКОВ ИНФРАКРАСНОГО ИЗЛУЧЕНИЯ»**

B. G. Goncharenko, A. A. Zhukov, S. M. Zorin, V. V. Kozlov, A. S. Korpukhin, V. D. Salov  
**«DESIGN MODELING AND MANUFACTURE  
 OF 3D MEM-STRUCTURES FOR THERMAL DETECTORS»**



**Рис. 1.** Результат компьютерного моделирования распределения температуры на участке мишени одноуровневой конструкции ( $7 \times 7$  шестиугольных ЧЭ) через 40 мс после нагрева центрального ЧЭ ( $Q = 10 \text{ Вт}/\text{м}^2$ ), шаг структуры 17 мкм; *a* – 2D-вид; *b* – 3D-диаграмма

*Fig. 1. Result of a computer modeling of the temperature distribution on a site of the target of a single-level design ( $7 \times 7$  hexagonal SE) after 40 ms of heating of the central SE ( $Q = 10 \text{ W/m}^2$ ), step of the structure – 17 micrometers, width of the crosspiece – 1 micrometer: *a* – 2D-view; *b* – 3D-diagram*



**Рис. 5.** Пример стресс-анализа микромостиковой структуры на трех опорах из нитрида кремния методом конечных элементов при задании механических воздействий в вертикальном направлении

*Fig. 5. An example of the stress-analysis of a microbridge structure on three supports from silicon nitride by the method of finite elements, when mechanical influences are applied in the vertical direction*

Рисунки к статье И. А. Пронина

**«ИССЛЕДОВАНИЕ ПОТЕНЦИОМЕТРИЧЕСКИХ ГАЗОВЫХ СЕНСОРОВ  
НА ОСНОВЕ ГОМОПЕРЕХОДОВ ZnO/ZnO-Me, Me-Cu, Fe»**

I. A. Pronin

**«RESEARCH OF THE POTENTIOMETRIC GAS SENSORS  
BASED ON ZnO/ZnO-Me, Me-Cu, Fe HOMOJUNCTIONS»**

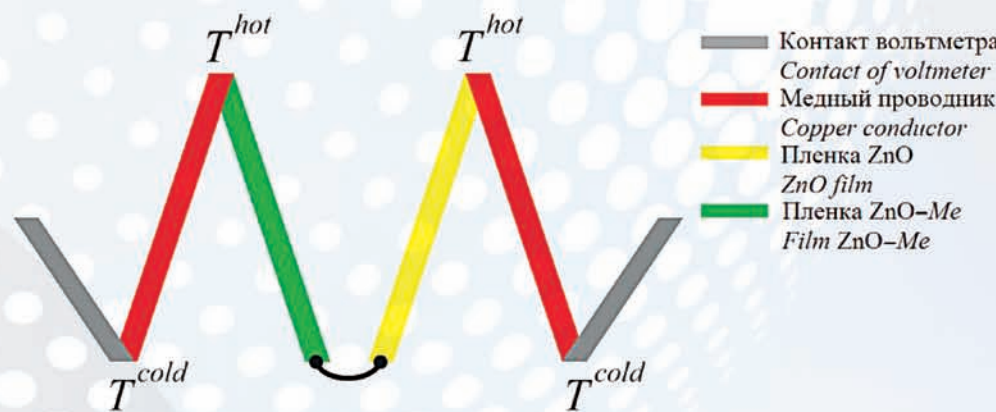


Рис. 7. Схема структуры виртуальной термопары

Fig. 7. Structure of a virtual thermocouple

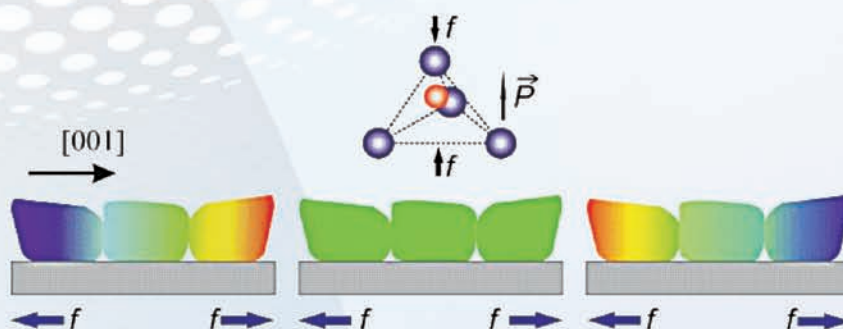
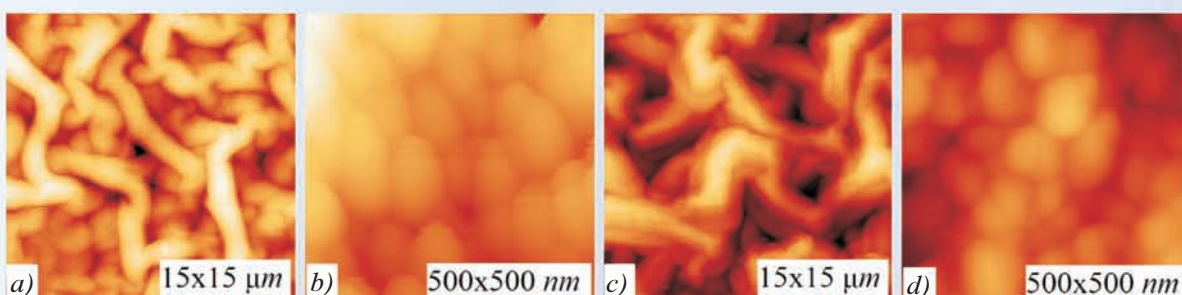


Рис. 9. Возникновение пьезоэлектрического эффекта в ориентированных пленках оксида цинка

Fig. 9. Occurrence of the piezoelectric effect in the oriented ZnO films

Рис. 12. ACM изображения поверхности плёнок ZnO-Me:  
a, b – ZnO-Cu, три погружения; c, d – ZnO-Fe, три погруженияFig. 12. AFM images of the surface of ZnO-Me films:  
a, b – ZnO-Cu, three immersions; c, d – ZnO-Fe, three immersions